

# مقایسه‌ی رفتار سد خاکی با مصالح رس خالص و رس مخلوط در بارگذاری‌های مختلف

سینا ساسانیان (کارشناس ارشد)

عباس سروش (دانشیار)

دانشکده‌ی مهندسی عمران و محیط زیست، دانشگاه صنعتی امیرکبیر

حسین سلطانی جقه (استادیار)

دانشکده‌ی فنی، دانشگاه تربیت معلم آذربایجان

بهدلیل برخی مشکلات فنی و اجرایی، امروزه در هسته‌ی سدهای خاکی از خاک رسی مخلوط بهجای خاک رسی خالص استفاده می‌شود. در این نوشتار سدهای خاکی با هسته‌ی رسی و سدهای خاکی با هسته‌ی مخلوط مورد تحلیل عددی قرار گرفته و با هم مقایسه شدند. نتایج حاصله حاکی از آن است که در حین ساخت سد با هسته‌ی مخلوط - در مقایسه با ساخت سد با هسته‌ی رسی - فشار آب حفره‌ی مازاد کمتری ایجاد می‌شود؛ اما در بارگذاری تناوبی فرضی بر روی تاج سد فشار آب حفره‌ی بیشتری در هسته‌ی مخلوط ایجاد می‌شود، بررسی نتایج همچنین نشان می‌دهد که مجموع فشار آب حفره‌ی تولید شده در حین ساخت، آنگیری و بارگذاری تناوبی فرضی در هسته‌ی رسی بیشتر از هسته‌ی مخلوط است. بنابراین در سد خاکی با هسته‌ی مخلوط - در مقایسه با هسته‌ی رسی - علاوه بر بهبود خواص مقاومتی، فشار آب حفره‌ی مازاد کمتری تولید می‌شود.

واژگان کلیدی: هسته سد خاکی، خاک رس مخلوط، بارگذاری یکنواخت، بارگذاری تناوبی، تحلیل عددی.

## ۱. مقدمه

سدهای خاکی ناچیه‌بندی شده از قسمت‌های مختلفی نظیر پوسته، هسته، زکش‌ها و فیلترها تشکیل می‌شوند، که هریک عهده‌دار وظیفه‌ی خاصی هستند. از آنجا که فشار آب حفره‌ی در هسته از عوامل نایابیداری و مخاطره‌انگیز در سدها است، لازم است در انتخاب مصالح هسته و اجرای آن تدبیری اتخاذ شود تا در شرایط بارگذاری‌های مختلف بهترین عملکرد را داشته باشد و میزان فشار آب حفره‌ی مازاد در حین ساخت سد، آنگیری و بارگذاری‌های زلزله کمینه شود.

اکثر سدهای خاکی اجراسده در گذشته دارای هسته‌ی رسی بود چرا که میزان نفوذپذیری این مصالح کم بوده است. محدودیت منابع قرضه‌ی خاک رس، مهندسین ژئوتکنیک را به فکر جایگزینی این مصالح با مصالحی با مقاومت بالا و نفوذپذیری نسبتاً کم در هسته‌ی سدها انداخت. بهترین جایگزین برای این مصالح، خاک‌های مخلوط یا میانی بودند که ترکیبی از مصالح دانه‌ی (مانند ماسه و شن) با مصالح چسبنده (مانند رس) هستند. رفتار مکانیکی این نوع خاک‌ها حد میانی رفتار خاک‌های رسی و دانه‌ی است و به سختی نسبی این دو بخش، نحوه قرارگیری آن‌ها نسبت به هم، و اندرکنش بین آن‌ها وابسته است.

سد کرخه، بزرگ‌ترین سد مخزنی ایران با ارتفاع ۱۲۷ متر و طول تاج ۳۵۰۰ متر، از هسته‌ی رسی مخلوط (مشکل از ۶۰ درصد رس و ۴۰ درصد مصالح دانه‌ی) در این زمینه تحقیقات بسیاری انجام شده است.<sup>[۱]</sup> بیشتر این تحقیقات درمورد سد خاکی کرخه با مصالح هسته‌ی رسی و رسی مخلوط، و با استفاده از نرم افزارهایی

در این زمینه تحقیقات بسیاری انجام شده است.<sup>[۲]</sup> بیشتر این تحقیقات درمورد

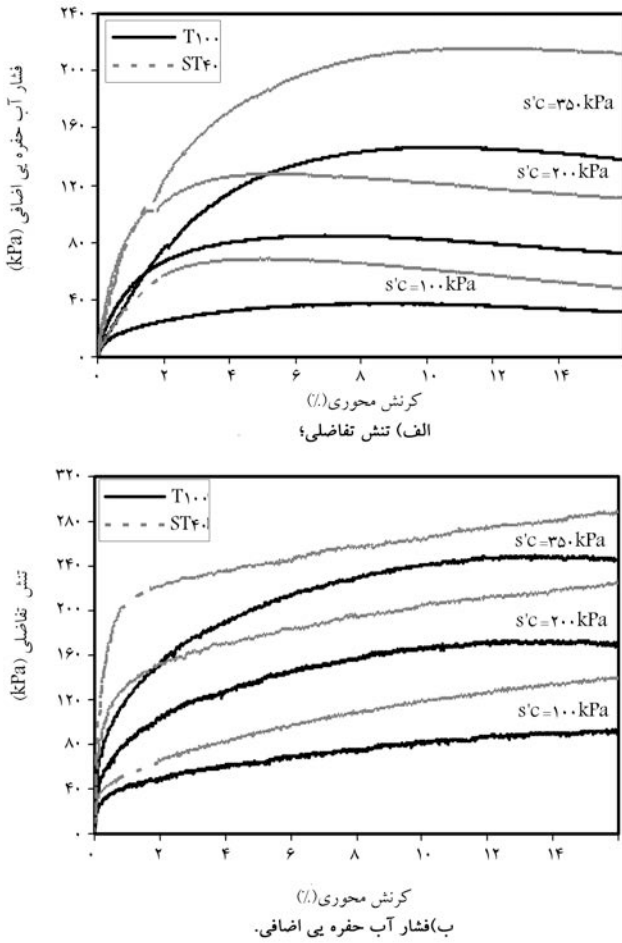
تاریخ: دریافت ۱۳۸۷/۹/۳، اصلاحیه ۱۳۸۸/۴، پذیرش ۱۳۸۹/۲/۴.

نظیر FEADAM و FLAC انجام شده است. در یکی از این تحقیقات سد خاکی کرخه با استفاده از نرم‌افزار FLAC و با دو هسته‌ی رسی و مخلوط در شرایط مراحل ساخت و دینامیکی تحلیل شد.<sup>[۱]</sup> نتایج حاصل از این تحلیل‌ها نشان دادند که افزایش مصالح دانه‌یی در هسته‌ی سد در شرایط ایستا باعث کاهش فشارهای منفذی، در شرایط پویا باعث افزایش فشارهای منفذی می‌شود.

هدف از ارائه‌ی این نوشتار، مقایسه‌ی نتایج آزمون‌های آزمایشگاهی با تحلیل عددی آن است تا بتوان به وسیله‌ی آن به پارامترهای واقعی خاک رسید و سپس با استفاده از این پارامترها در مدل‌سازی هسته‌ی سد خاکی فرضی به مقایسه‌ی آن در شرایط ساخت لایلاه و بارگذاری تناوبی روی تاج سد پرداخت.

## ۲. آزمون‌های آزمایشگاهی

در سال ۱۳۸۵ آزمایش‌های تحکیم‌یافته‌ی زهکشی‌نشده‌ی یکنواخت، تناوبی و پس‌تناوبی یکنواخت در شرایط کنترل کرنش روی نمونه‌های رس خالص، مخلوط رس-ماسه و مخلوط رس-شن با درصد ماسه و شن ۲۰، ۴۰ و ۶۰ تحت تنش‌های محصورکنندگی ۱۰۰، ۲۰۰ و ۳۵۰ کیلوپاسکال انجام شد.<sup>[۱]</sup> رس خالص مورد استفاده از نوع رس بال-کلی ترکیه با توده‌ی ویژه ۲/۷۲ و شاخص خمیری ۱۹ بود. مصالح دانه‌یی مورد آزمایش نیز از منطقه‌ی خلیج (مسیل کن اطراف تهران) انتخاب شده بود که توده‌ی ویژه ذرات ماسه و شن براساس یافته‌های آزمایش به ترتیب برابر ۲/۶۴ و ۲/۵۶ بود. همچنین ارتفاع و قطر نمونه‌های آزمایشگاهی به ترتیب ۱۵ و ۷/۱ سانتی‌متر بود. در این نوشتار به دلیل تعدد آزمایش‌ها، فقط به نتایج آزمایش نمونه‌های رس خالص با نام اختصاری T۱۰۰ و مخلوط رس-ماسه با نام اختصاری S۱۴۰ اشاره شده و تحلیل‌های عددی نیز بر روی سد خاکی متشکل از این نوع مصالح انجام می‌شود. این دو نمونه نماینده‌ی حد پایین و بالای فشار آب حفره‌یی در نمونه‌های آزمایش شده‌اند.



شکل ۱. نتایج حاصل از آزمایش یکنواخت نمونه‌های T۱۰۰ و ST۴۰ در تنش‌های محصورکنندگی مختلف.<sup>[۱]</sup>

باشد، سختی آن بیشتر می‌شود؛ و چون شرایط بارگذاری در حالت سطوح تنش یکسان است نمونه‌یی که سختی بیشتری دارد، تمایل به تغییر حجم کمتر دارد. از آنجاکه فشار آب حفره‌یی با تمایل به تغییر حجم متناسب است، نمونه‌یی که پتانسیل تغییر حجم یا به عبارتی کرنش کمتری داشته باشد، فشار آب حفره‌یی کمتری در آن ایجاد می‌شود.

## ۲. آزمایش‌های تناوبی تحکیم‌یافته‌ی زهکشی‌نشده

در آزمایش‌های تناوبی کنترل کرنش پس از تحکیم‌یافته در شرایط بارگذاری تناوبی با کرنش‌های محوری ۱/۰ و ۰/۵ درصد از بالا به نمونه‌ها اعمال شده است.<sup>[۱]</sup> فرکانس بارگذاری ۱ Hz و تعداد دوره‌های بارگذاری ۵۰ بوده است. بدلیل تعدد آزمایش‌ها، تنها نتایج آزمایش تناوبی با کرنش محوری ۱ در تنش محصورکنندگی مؤثر ۲۰۰ kPa ارائه شده و مورد بررسی قرار می‌گیرد. در شکل ۲ تغییرات فشار آب حفره‌یی حاصل از آزمایش تناوبی با کرنش محوری ۱٪ در تنش محصورکنندگی مؤثر ۲۰۰ kPa، برای نمونه‌های رس خالص و رس مخلوط نشان داده شده است. نتایج نشان می‌دهند که در این نوع بارگذاری در هر دو حالت کنترل کرنش و سطوح تنش مساوی، با افزایش مصالح دانه‌یی در خاک رس و افزایش تعداد دوره‌های بارگذاری، فشار آب حفره‌یی بیشتر می‌شود و نزد افزایش آن در ۱۰ دوره‌ی اول بیشتر است.

۱.۲. آزمایش‌های یکنواخت تحکیم‌یافته‌ی زهکشی‌نشده در آزمایش‌های یکنواخت، نمونه‌های تحکیم‌یافته تحت بارگذاری یکنواخت کنترل کرنش قرار گرفته و کرنش نهایی اعمال شده به نمونه‌ها برابر ۱۶٪ بود. شکل ۱ تغییرات تنش‌فاضلی و فشار آب حفره‌یی را در برابر کرنش محوری پایی نمونه‌های T۱۰۰ و ST۴۰ نشان می‌دهد. مقایسه‌ی نتایج این آزمایش‌ها نشان می‌دهد که در تنش‌های محصورکنندگی یکسان، افزودن مصالح دانه‌یی به خاک رس باعث افزایش تنش‌فاضلی و فشار آب حفره‌یی می‌شود. ولی بررسی تغییرات فشار آب حفره‌یی در سطوح تنش یکسان نشان داد که مقدار آن با افزودن مصالح دانه‌یی کاهش می‌یابد. پژوهش‌گران علت افزایش فشار آب حفره‌یی با افزایش درصد مصالح دانه‌یی را در شرایط کنترل کرنش چنین بیان می‌کنند:<sup>[۱-۳]</sup> با توجه به سازوکار انتقال تنش در پخش‌های مختلف خاک مخلوط، در انتها مرحله‌ی تحکیم، بخش رسی دور از دانه‌ها در نمونه‌های مخلوط ساختار سست‌تری نسبت به بخش رسی نمونه‌های رس خالص دارد. هرقدر درصد مصالح دانه‌یی بیشتر می‌شود، رس محبوس در فضای دور از دانه‌ها ساختار سست‌تری خواهد داشت. ساختار سست‌تر در همین بارگذاری برشی تمایل بیشتری به انقباض دارد و درنتیجه فشار آب حفره‌یی بیشتری در آنها ایجاد می‌شود. همچنین در نمونه‌های با درصد مصالح دانه‌یی یکسان، با کوچکتر شدن اندازه‌ها و کاهش مقاومت برشی، فشار آب حفره‌یی بیشتری تولید می‌شود. علت افزایش فشار آب حفره‌یی پس از افزایش مصالح دانه‌یی در شرایط سطوح نشان داده شده است. نتایج نشان می‌دهند که در این نوع بارگذاری در هر دو حالت کنترل کرنش و سطوح تنش مساوی، با افزایش مصالح دانه‌یی در خاک رس و افزایش تعداد دوره‌های بارگذاری، فشار آب حفره‌یی بیشتر می‌شود و نزد افزایش آن در ۱۰ دوره‌ی اول بیشتر است.

جدول ۱. پارامترهای مدل کمکلی نمونه‌های T<sub>100</sub> و ST<sub>40</sub> در تنش‌های محصورکنندگی مختلف.

e <sub>0</sub>	k(cm/sec)	M	$\kappa$	$\lambda$	تنش محصورکنندگی (kPa)	نمونه
۰,۷۰۸	۶,۰۷E-۱۰	۰,۹	۰,۰۷۵		۱۰۰	T <sub>100</sub>
		۰,۸۵۷۶	۰,۰۶۵	۰,۰۹	۲۰۰	
		۰,۸۵۲۳	۰,۰۶۱		۳۵۰	
۰,۴۱۲	۶,۷۶E-۰,۹	۱/۴۴۸	۰,۰۴۵		۱۰۰	ST <sub>40</sub>
		۱/۳۴۷	۰,۰۴	۰,۰۷۵	۲۰۰	
		۱/۲۵۲	۰,۰۲۵		۳۵۰	

درجه اشباع ۱ و  $K_w = ۲E + ۶(kPa)$  مدول بالک آب حفری

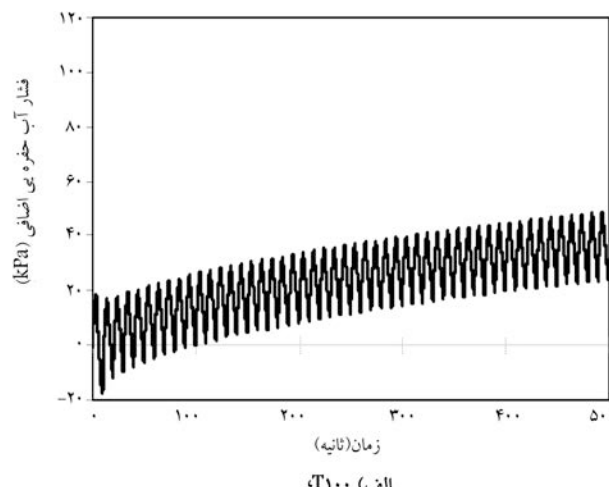
$$\lambda = (G_S \cdot PI) / ۴۶۱ \quad (1)$$

$$\kappa = P/E \quad (2)$$

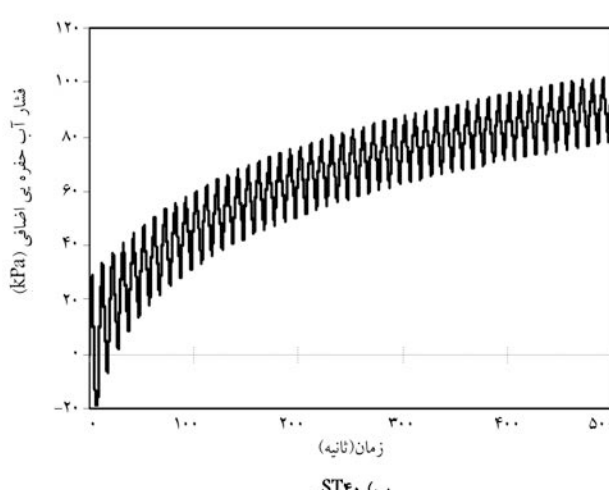
$$M = \frac{\pi \sin \phi'}{2 - \sin \phi'} \quad (3)$$

$$\tau = c' + \sigma_n \cdot \tan \phi' \quad (4)$$

$$\sin \phi' = \frac{\sigma_1 - \sigma_2}{\sigma_1 + \sigma_2 + 2c' \cot \phi' - 2\Delta u} \quad (5)$$



الف) T<sub>100</sub>



ب) ST<sub>40</sub>

شکل ۲. تغییرات فشار آب حفری مازاد در آزمایش سه محوری تناوبی با کرنش محوری ۱٪ و تنش محصورکنندگی ۲۰۰ kPa

#### ۴. تحلیل‌های عددی

##### ۱.۴ تحلیل عددی نمونه‌ی تحکیم‌یافته‌ی زهکشی نشده تحت بارگذاری یکنواخت

تحلیل عددی دو نمونه رس خالص (T<sub>100</sub>) و رس مخلوط (ST<sub>40</sub>) تحت بارگذاری یکنواخت به منظور تدقیق پارامترهای مدل و مقایسه‌ی نتایج تحلیل عددی با نتایج آزمایش انجام شده است. در این حالت نمونه‌ها مشابه با شرایط اعمال شده در آزمایشگاه، در محیط نرم افزار اجراء محدود آباکوس به صورت سه بعدی و با استفاده از ۲۰۸ المان هشتگره‌ی گره مدل سازی و تحلیل شدند. بعد نمونه، نحوه المان‌بندی و هندسه‌ی تغییرشکل یافته‌ی نمونه در اثر بارگذاری یکنواخت در شکل ۳ ارائه شده است. در شکل ۴ تغییرات فشار آب حفری و تنش تقاضلی در برابرکرشن محوری برای تحلیل عددی نمونه T<sub>100</sub> در تنش‌های محصورکنندگی مختلف با نتایج آزمایش‌ها مقایسه شده است. نمودارهای مشابه برای نمونه ST<sub>40</sub> در شکل ۵ ارائه شده است.

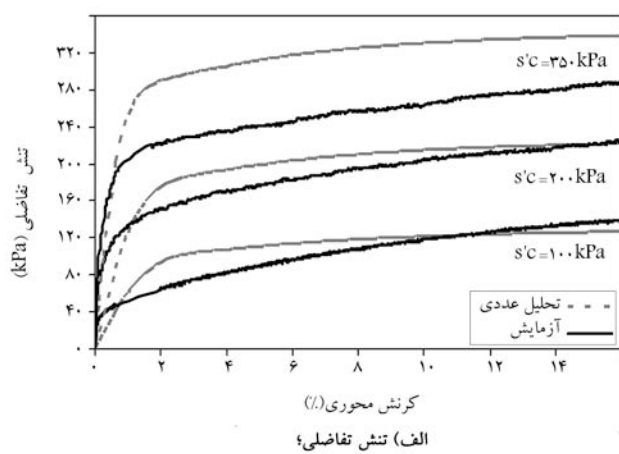
مقایسه‌ی نتایج نشان می‌دهد که در تحلیل عددی نیز مانند نتایج آزمایش‌ها، با افزودن مصالح دانه‌ی به رس خالص، فشار آب حفری، بهویه در تنش‌های محصورکنندگی بالا، افزایش می‌یابد. همچنین نتایج حاکی از آن است که تغییرات تنش تقاضلی و فشار آب حفری با کرنش محوری برای نمونه ST<sub>40</sub> در تنش محصورکنندگی مؤثر ۳۵۰ kPa نسبت به تنش‌های محصورکنندگی مؤثر ۱۰۰ kPa و ۲۰۰ kPa اختلاف بیشتری با نتایج آزمایشگاهی دارد.

عملت موضوع اخیر را می‌توان چنین بیان کرد: تخلخل اولیه‌ی نمونه‌ها پس از ساخت با تخلخل نمونه بعد از اعمال تنش محصورکنندگی مؤثر همه جانبه (بعد از برش) متفاوت است و با افزایش تنش محصورکنندگی، تخلخل نمونه کاهش می‌یابد. در حالی که در تحلیل‌های انجام شده در کلیه‌ی تنش‌های محصورکنندگی، مقدار

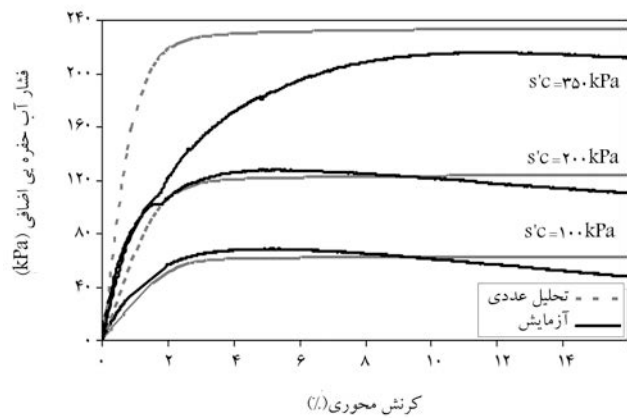
#### ۳. نرم افزار، مدل استفاده شده و پارامترهای خاک

برای مدل سازی عددی نمونه‌ها در شرایط بارگذاری یکنواخت از نسخه‌ی ۶/۷ نرم افزار آباکوس، [۱] و در شرایط بارگذاری تناوبی و تحلیل تراویش از مجموعه نرم افزارهای زتوسلوب [۱۰] استفاده شد. هر دو نرم افزار برای تحلیل از روش اجراء محدود بهره‌مند و قادر به مدل سازی محیط‌های خاکی هستند. مدل رفتاری مصالح برای تحلیل عددی نمونه‌ها مدل‌های موهر-کولمب، دراکر-براگر و کمکلی بود و در نهایت به دلیل نزدیکی جواب‌های مدل کمکلی به نتایج آزمایش‌ها، این مدل به عنوان مدل رفتاری برای تحلیل عددی سد خاکی فرضی انتخاب شد.

در مدل کمکلی پارامترهای استفاده شده برای نمونه‌های T<sub>100</sub> و ST<sub>40</sub> در تنش‌های محصورکنندگی مؤثر مختلف با استفاده از روابط ۱ تا ۵ و نتایج آزمایش سه محوری [۱] و نیز مقایسه‌ی نتایج تحلیل عددی با نتایج آزمایش‌ها تعیین شد. این پارامترها برای تحلیل‌های یکنواخت و تناوبی یکسان در نظر گرفته شده و در جدول ۱ ارائه شده است. در این جدول مقادیر نشانه‌ی خلاه اولیه و ضریب نفوذپذیری از نتایج آزمایش استخراج شد. [۱]



الف) تنش تفاضلی؛



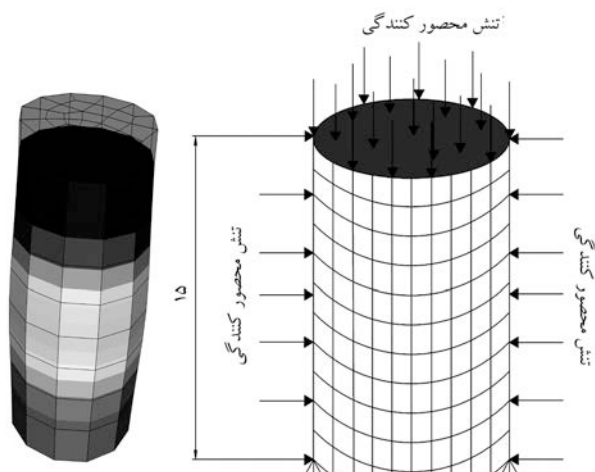
ب) فشار آب حفره بی اضافی در برابر کرنش محوری.

شکل ۵. مقایسه نتایج حاصل از تحلیل عددی و نتایج آزمایشگاهی نمونه ST<sup>۴۰</sup> در تنش‌های محصورکنندگی مختلف.

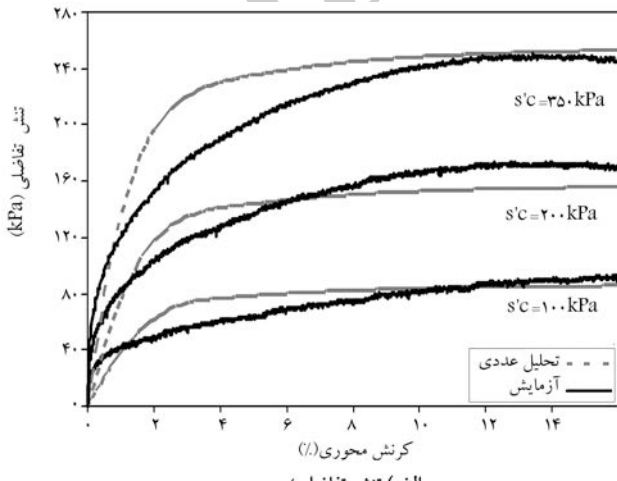
تخلخل نمونه‌ها همان تخلخل اولیه در نظر گرفته شده است، در واقع تخلخل هنگام شروع برش زمکشی نشده برابر تخلخل اولیه نمونه فرض شده است. چنان‌که می‌دانیم هر قدر تخلخل نمونه کمتر باشد، فشار آب حفره‌ی کمتری نیز در نمونه ایجاد می‌شود. بنابراین با توجه به نحوه مدل‌سازی، بدینهی است که با افزایش تنش محصورکنندگی اختلاف بین شرایط تحلیل عددی و آزمایشگاهی بیشتر می‌شود.

#### ۲.۴. تحلیل عددی نمونه‌ی تحقیم‌یافته‌ی زهکشی نشده تحت بارگذاری تناوبی

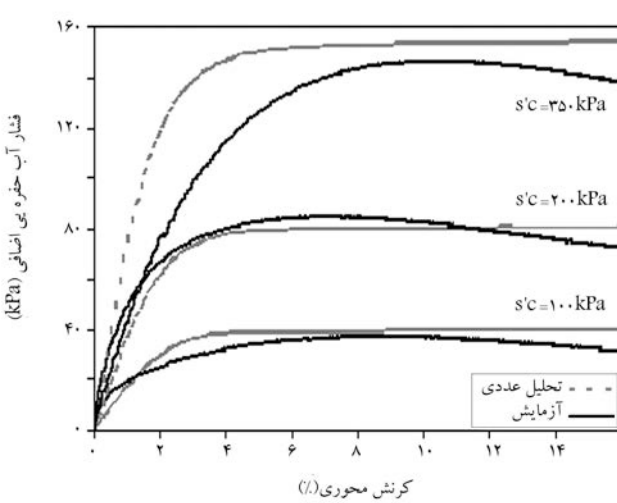
نمونه‌های تحقیم‌یافته T<sup>۱۰۰</sup> و ST<sup>۴۰</sup> در تنش محصورکنندگی مؤثر ۲۰۰ kPa با اعمال بارگذاری تناوبی کنترل کرنش در شرایط زهکشی نشده، با کرنش محوری ۱٪ در مدت زمان ۵۰ ثانیه با استفاده از مدل کمکلی تحلیل عددی شدند. پارامترهای مدل کمکلی قبلاً در جدول ۱ آراه شده است. نمونه‌ها به صورت تقارن محوری و با استفاده از ۲۰ المان چهارگرهی و ۳۳ گره مدل سازی و تحلیل شد. شکل ۶ ابعاد و نحوه المان‌بندی و شماهی بارگذاری تناوبی اعمال شده به نمونه‌ها را نشان می‌دهد. لازم به ذکر است که شرایط مرزی در اطراف نمونه طوری تعریف شدند که در هین بارگذاری امکان زمکشی از اطراف نمونه وجود نداشته باشد. نتایج حاصل از این تحلیل‌ها به صورت تغییرات فشار آب حفره‌ی مازاد برحسب زمان با نتایج آزمایشگاهی در شکل ۷ برای هر دو نمونه مقایسه شده است.



شکل ۳. ابعاد نمونه (cm)، نحوه المان‌بندی و هندسه‌ی تغییرشکل یافته‌ی نمونه بر اثر بارگذاری یکنواخت.



الف) تنش تفاضلی؛



ب) فشار آب حفره بی اضافی در برابر کرنش محوری.

شکل ۴. مقایسه نتایج حاصل از تحلیل عددی و نتایج آزمایشگاهی نمونه T<sup>۱۰۰</sup> در تنش‌های محصورکنندگی مختلف.

ST<sup>۴۰</sup> بیشتر از نتایج آزمایش و برای نمونه‌ی T<sup>۱۰۰</sup> کمتر از نتایج آزمایش است. با این حال مقدار فشار آب حفره‌ی در دوره‌ی پایانی با نتایج آزمایشگاهی مطابقت دارد.

## ۵. تحلیل عددی سد خاکی فرضی

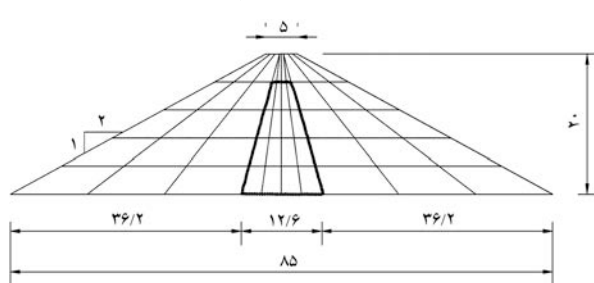
برای ارزیابی رفتار مصالح رس خالص و رس مخلوط در سازه‌های خاکی، یک سد خاکی فرضی با هسته‌ی مرکزی قائم در دو حالت: ۱. هسته‌ی متشكل از مصالح رس خالص (T<sup>۱۰۰</sup>)؛ ۲. هسته‌ی متشكل از مصالح رس مخلوط (ST<sup>۴۰</sup>) تحلیل شدند. ارتفاع کل سد و هسته‌ی آن به ترتیب ۲۰ و ۱۶ متر انتخاب شد. شبیه‌سازی ۲ به ۱ و شبیه‌سازی ۳ به ۱ (افقی به قائم) انتخاب شده و فرض شد اجرای سد به صورت ساخت لایه‌لایه (۵ لایه‌ی ۴ متری) باشد. چنان‌که پیش‌تر اشاره شد مدل رفتاری مورد استفاده در تحلیل عددی مدل کم‌کلی بود و پارامترهای آن از میانگین پارامترهای مدل کم‌کلی در تنش‌های محصورکنندگی مؤثر مختلف به دست آمده بودند. پارامترهای مدل کم‌کلی برای مصالح هسته‌ی T<sup>۱۰۰</sup>، ST<sup>۴۰</sup>، و مصالح پوسه‌ی سد در جدول ۲ آرائه شده است.

### ۱.۵. مرحله‌ی ساخت لایه‌لایه سد

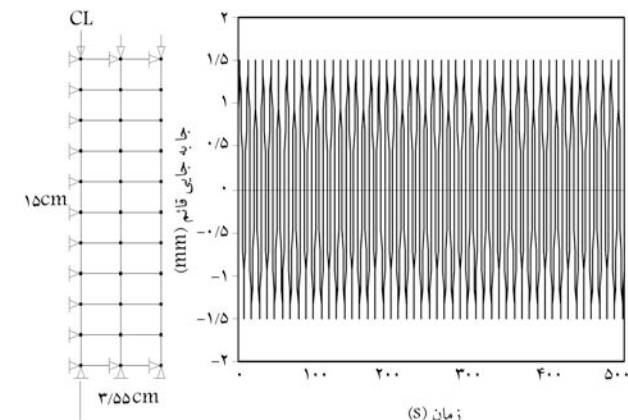
سد خاکی فرضی، با ابعاد و المان‌بندی ارائه شده در شکل ۸، یکبار با هسته‌ی رسی خالص و بار دیگر با هسته‌ی مخلوط تحلیل عددی شد. در این تحلیل‌ها دو نوع شرط مرزی برای هسته‌ی سد در نظر گرفته شد، به طوری که در حالت اول زمکشی فشار آب حفره‌ی از هسته امکان پذیر نبود (تحلیل کاملاً زمکشی‌نشده) و در حالت دوم امکان خروج آب و تحکیم لایه‌ها در حین تحلیل عددی وجود داشت (تحلیل همراه با تحکیم لایه‌ها). برای این که در حین مدل‌سازی مرحله‌ی اجرای لایه‌لایه سد در روش کاملاً زمکشی‌نشده، زمان کافی برای بازتوzیع فشار آب حفره‌ی در هسته‌ی سد خاکی وجود داشته باشد، زمان ساخت بهارگزاری کافی در نظر گرفته شد. در تحلیل عددی با فرض تحکیم لایه‌ها نیز برای ساخت هر لایه ۳۰ روز، یعنی زمانی

جدول ۲. پارامترهای مدل کم‌کلی هسته و مدل کشسانی پوسه‌ی سد خاکی فرضی.

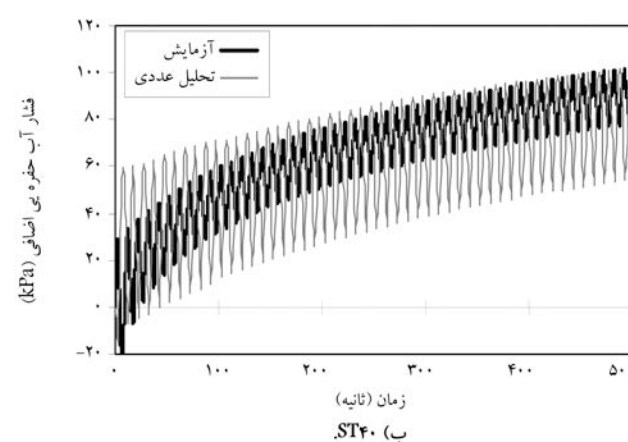
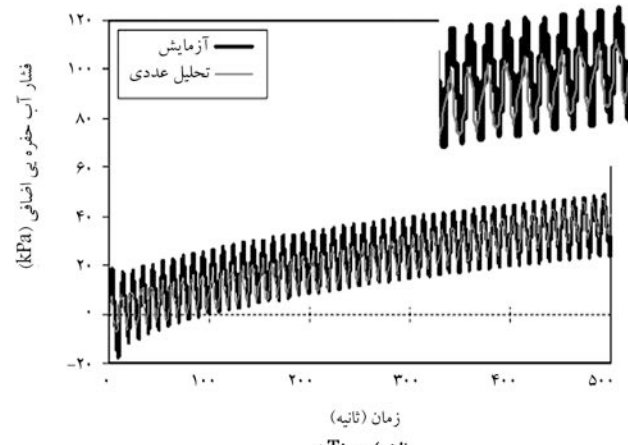
K (cm/s)	$\gamma$ (kN/m <sup>3</sup> )	v	E (kPa)	$\kappa$	$\lambda$	M	صالح
۶,۰۷E-۱۰	۱۸	۰,۳	۱۰۰۰۰	۰,۰۶۷	۰,۰۹	۰,۸۷	T <sup>۱۰۰</sup>
۶,۷۶E-۰۹	۱۸	۰,۳	۳۰۰۰۰	۰,۰۳۷	۰,۰۷۵	۱/۳۴۹	ST <sup>۴۰</sup>
-	۲۰	۰,۲۵	۵۰۰۰۰	-	-	-	پوسه



شکل ۸. هندسه و نحوی المان‌بندی سد خاکی فرضی در تحلیل عددی ساخت لایه‌لایه (ابعاد بر حسب متر).



شکل ۶. نحوی المان‌بندی و ابعاد نمونه در بارگذاری تناوبی با کرنش محوری ۱٪ و تابع بارگذاری.



شکل ۷. مقایسه نتایج حاصل از تحلیل عددی و آزمایش کنترل کرنش براثر اعمال کرنش محوری تناوبی ۱٪ و تنش محصورکنندگی ۲۰۰ kPa.

نتایج حاصل از تحلیل‌های عددی و مقایسه‌ی آن با نتایج آزمایش‌ها نشان می‌دهند که مقدار فشار آب حفره‌ی مازاد حاصل از تحلیل‌های عددی نیز مشابه نتایج آزمایشگاهی، با افزایش تعداد دوره‌های بارگذاری بیشتر می‌شود و افزودن دانه‌ها به رس خالص نیز باعث زیاد شدن فشار آب حفره‌ی می‌شود. دامنه‌ی تغییرات فشار آب حفره‌ی با نتایج آزمایش یکسان نیست و دامنه‌ی تغییرات برای نمونه‌ی لایه‌لایه (ابعاد بر حسب متر).

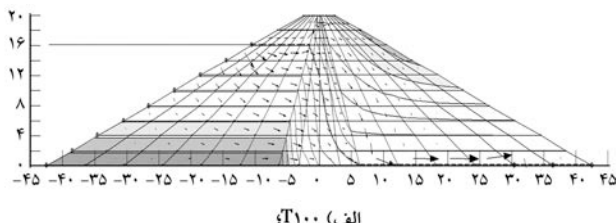
در حین ساخت سد نزدیک به شرایط سطوح تنش مساوی در آزمایش سه‌محوری زهکشی نشده‌ی نمونه‌هاست.

در مورد علت کاهش نشست می‌توان گفت: در هنگام تحکیم خاک، تنش محصورکننگی افزایش می‌یابد و چون در مدل کمک‌کاری سختی مصالح تابعی از تنش محصورکننگی است، با افزایش تنش محصورکننگی سختی خاک افزایش می‌یابد و در نتیجه با افزایش سختی مصالح نشست کاهش می‌یابد.

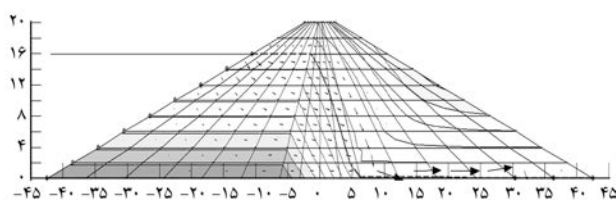
## ۲.۵. تحلیل تراویش سد

برای انجام تحلیل عددی با بارگذاری تناوبی بر روی سد خاکی در شرایط بعد از آبگیری، فرض شد که بارگذاری تناوبی پس از بزرگاری تراویش دائم در سد اعمال شده باشد.

در تحلیل تراویش، ارتفاع آب در بالادست سد معادل ۱۶ متر و در پایین دست سد برابر صفر فرض شد. برای هر دو سد با هسته‌های T<sub>100</sub> و ST<sub>40</sub> سطح آزاد آب بعد از تحلیل تراویش برای هر دو سد نشان داده شده است. در این شکل مشاهده می‌شود که در سد خاکی با مصالح هسته‌ی رس خالص، بدليل نفوذپذیری کم نسبت به هسته‌ی با مصالح رس مخلوط، سطح آزاد آب بالاتر بوده و فشار آب حفره‌ی ناشی از بار آب در سد خاکی در مصالح هسته T<sub>100</sub> نیز بیشتر از مصالح هسته ST<sub>40</sub> است. به عبارتی با افزایش مصالح دانه‌ی در هسته سد خاکی، نرخ تراویش از هسته سد افزایش می‌یابد.



الف) T<sub>100</sub>



ب) ST<sub>40</sub>

شکل ۱۰. سطح آب آزاد بعد از تحلیل تراویش برای سد خاکی فرضی با مصالح هسته.

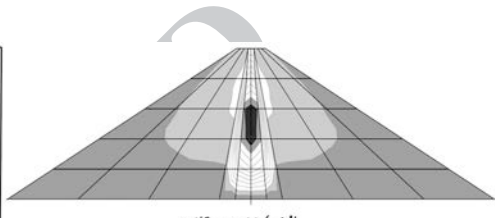
جدول ۳. مقایسه‌ی مقادیر بیشینه و کمینه‌ی پارامترهای مورد بررسی در هسته‌ی سد خاکی با مصالح T<sub>100</sub> و ST<sub>40</sub> در دو روش کاملاً زهکشی نشده و تحکیم یافته ساخت لایه‌لایه.

نشست ( $\delta_y$ ) (cm)		فشار آب حفره‌ی مازاد (kPa)				مدل	روش ساخت سد
ST <sub>40</sub>	T <sub>100</sub>	ST <sub>40</sub>	T <sub>100</sub>	مصالح هسته			
۱۶/۴۶	۲۷/۲۷	۲۰۵/۳ ۲۹/۳۶	۲۲۲/۵۶ ۲۳/۱۰۵	حداکثر حداقل	کمک‌کاری	کاملاً زهکشی نشده	تحکیم یافته
۱۷/۴۱	۱۵/۲۰	۵۷/۰۱	۱۹۵/۰۱	حداکثر حداقل			

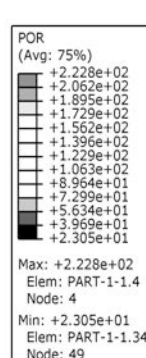
معادل ۱۵۰ روز، برای ساخت کل سد در نظر گرفته شد. در این تحلیل‌ها، نشست فشار آب حفره‌ی در هسته به عنوان پارامترهای مهم در پایداری سد مورد بررسی قرار گرفتند.

شکل ۹ خطوط همتراز فشار آب حفره‌ی و نشست قائم را برای سد خاکی با هسته‌ی T<sub>100</sub> نشان می‌دهد. در جدول ۳ مقایسه‌ی مقدار فشار آب حفره‌ی، نشست قائم و نسبت فشار آب حفره‌ی بیشینه برای مصالح T<sub>100</sub> در حالت کاملاً زهکشی نشده، و ST<sub>40</sub> برای حالت همراه با تحکیم لایه‌ها ارائه شده است.

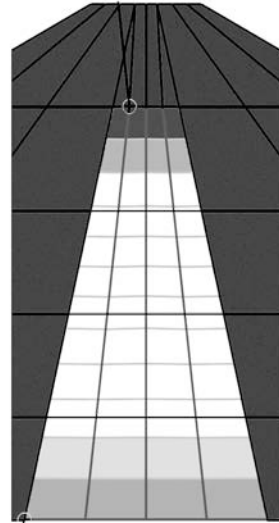
مقایسه‌ی نتایج به دست آمده نشان می‌دهد که صرف‌نظر از روش تحلیل، مقادیر فشار آب حفره‌ی و نشست قائم با افزودن مصالح دانه‌ی به رس خالص کاهش می‌یابد. همان‌طور که بیشتر اشاره شد، در آزمایش سه‌محوری نمونه‌ها در آزمایشگاه و در شرایط سطوح تنش مساوی، افزایش دانه‌ها در رس خالص باعث کاهش فشار آب حفره‌ی می‌شود. به عبارت دیگر، نحوه تولید فشار آب حفره‌ی



الف) نشست قائم؛



Max: +2.228e+02  
Elem: PART-1-1.4  
Node: 4  
Min: +2.305e+01  
Elem: PART-1-1.34  
Node: 49

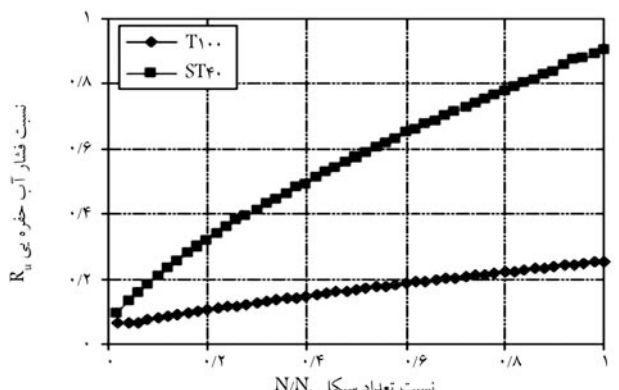


ب) فشار آب حفره‌ی برای سرخاکی با مصالح هسته T<sub>100</sub> در روش تحلیل ساخت لایه‌لایه کاملاً زهکشی نشده سرخاکی.

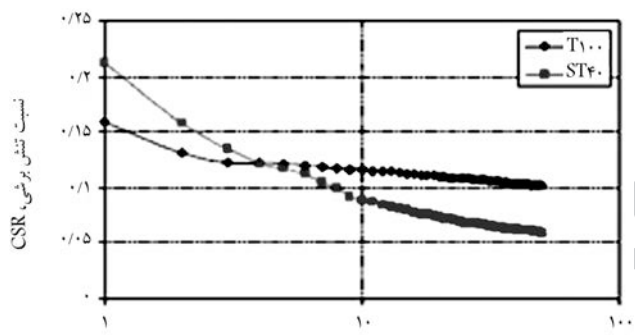
شکل ۹. خطوط همتراز.

تناوبی و تغییرات نسبت تنش برشی در برابر تعداد دوره‌های بارگذاری تناوبی است (شکل ۱۲).

نتایج تحلیل به صورت خطوط تراز فشار آب حفره‌بی برای هر دو سد با مصالح هسته  $T_{100}$  و  $ST_{40}$  در شکل ۱۳ ارائه شده است. مقادیر فشار آب حفره‌بی برای هر دو سد خاکی در نقاط هدف ذکر شده در شکل ۱۴ با یکدیگر مقایسه شده است. همچنین مقادیر نشست قائم در امتداد محور مرکزی سد و جایه‌جایی افقی سد در تراز  $+8$  متر برای هر دو سد در شکل ۱۵ ارائه شده است.

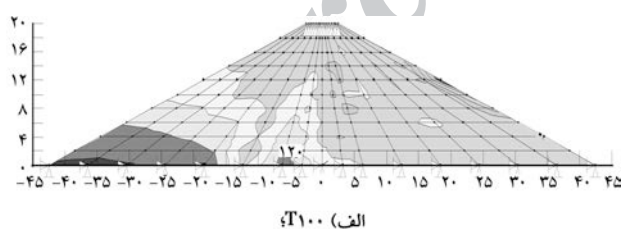


الف) تابع تغییرات نسبت فشار آب حفره‌بی در برابر نسبت تعداد سیکل؛

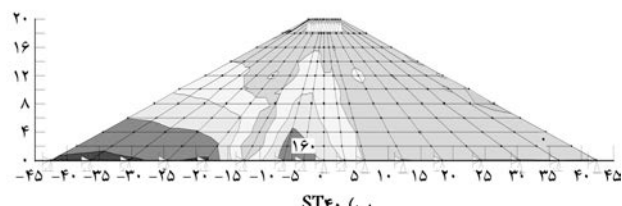


ب) تابع تغییرات نسبت تنش برشی در برابر تعداد سیکل های بارگذاری تناوبی.

شکل ۱۲. توابع مورد نیاز جهت مدل سازی در شرایط بارگذاری تناوبی.



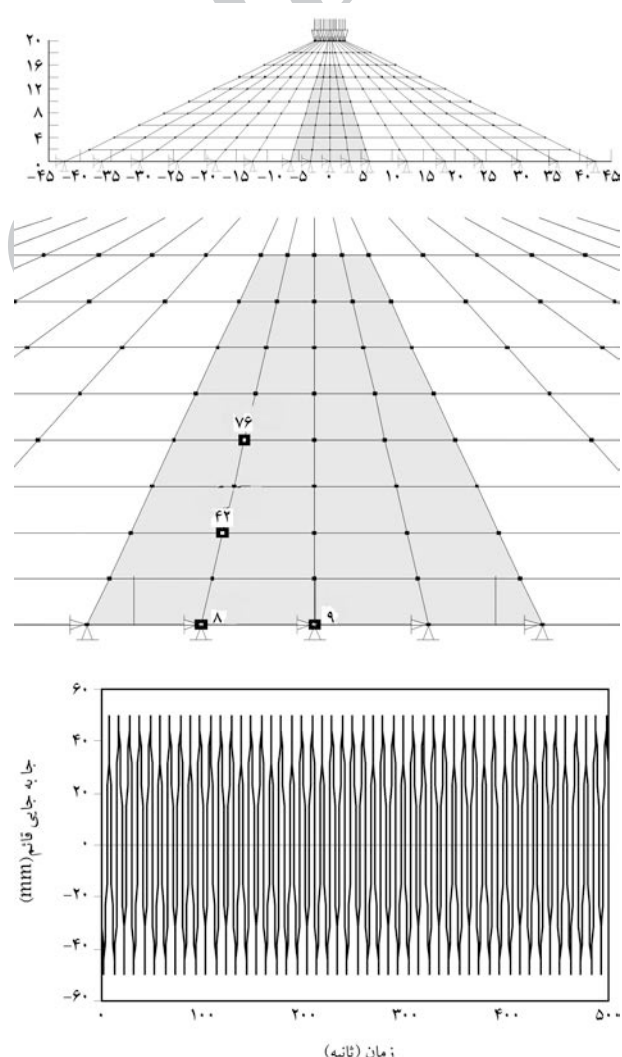
الف)  $T_{100}$



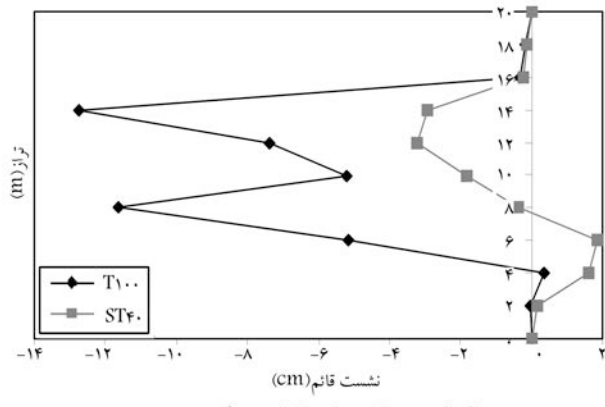
ب)

شکل ۱۳. خطوط همتراز فشار آب حفره‌بی حاصل از تحلیل عددی حاصل از اعمال بار تناوبی فرضی بر روی تاج سد خاکی فرضی با مصالح هسته.

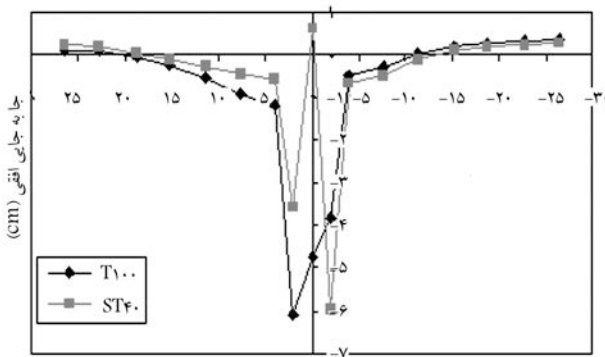
**۳.۵. تحلیل عددی با بارگذاری تناوبی فرضی روی تاج سد**  
بر روی هر دو سد خاکی با هسته‌های متفاوت با اعمال بارگذاری تناوبی فرضی با کرنش  $25\%$  ارتفاع سد (معادل  $5\text{ cm}$  جایه‌جایی قائم در تاج سد) تحلیل عددی انجام گرفت. در این تحلیل بار واردۀ به صورت تغییر شکل از بالا تاج سد در  $5^\circ$  دوره، و با فرکانس  $Hz/1$  به سد خاکی اعمال شد. این تحلیل بعد از ساخت لایه‌لایه‌ی سد و تراوش سد به صورت دو بعدی و با استفاده از مدل کمکلی انجام شد. تنش‌های حاصل از ساخت لایه‌لایه‌ی سد با مدل کشسانی و سطح آب آزاد به دست آمده از تحلیل تراوش به عنوان شرایط اولیه در تحلیل اعمال شدن، هندسه، نحوه‌ی المان‌بندی، تابع کرنش محوری تناوبی و نیز نقاط هدف برای بررسی فشار آب حفره‌بی در شکل ۱۱ ارائه شده است. پارامترهای مدل کمکلی مورد استفاده در تحلیل عددی سد خاکی با بارگذاری تناوبی، همان پارامترهای مورد استفاده در تحلیل عددی با بارگذاری یکنواخت است. لذا برای اعمال شرایط بارگذاری تناوبی دو تابع برای هسته‌های  $T_{100}$  و  $ST_{40}$  در نظر گرفته شد. این توابع به ترتیب تابع تغییرات نسبت فشار آب حفره‌بی در برابر نسبت تعداد دوره‌ی بارگذاری



شکل ۱۱. شکل، ابعاد، نحوه‌ی المان‌بندی و تابع بارگذاری سد خاکی فرضی و نقاط هدف برای خواندن فشار آب حفره‌بی.



الف) نشست قائم در امتداد قائم و مرکز سد؛



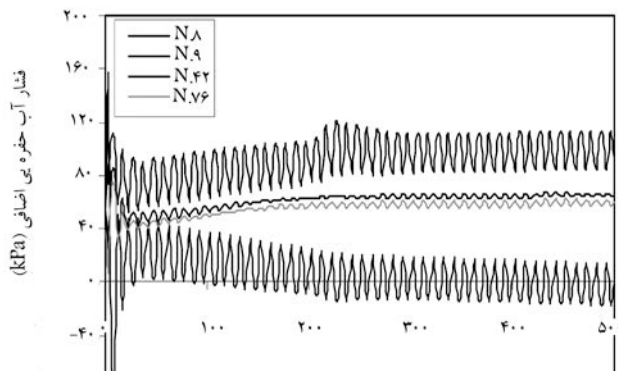
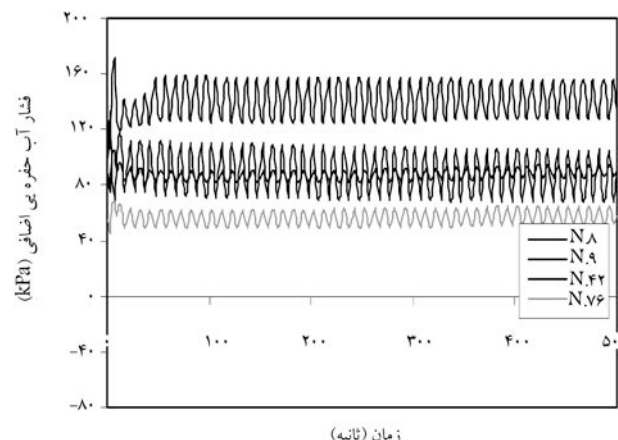
ب) جایی افقی در تراز ۴۰ متر حاصل از تحلیل عددی حاصل از اعمال بار تنابی فرضی بر روی تاج سد خاکی فرضی.

شکل ۱۵. نمودار مقایسه جایی افقی و افقی سد خاکی فرضی با در هسته مختلف حاصل از اعمال بارگذاری تنابوی فرضی.

جدول ۴. مقادیر بیشینه فشار آب حفره‌یی و نشست قائم سد خاکی با مصالح هسته‌یی T<sup>100</sup> و ST<sup>40</sup> در تحلیل عددی حاصل از اعمال بار تنابی فرضی روی تاج سد خاکی فرضی.

ST <sup>40</sup>	T <sup>100</sup>	نقطه هدف	نشست قائم، (cm)
۱۵۶,۴۴	۱۱۳,۵۶	۸	
۱۰۵,۱۰	۱۴,۲۴۹	۹	
۹۱,۳۰۶	۶۴,۰۸۲	۴۲	(kPa)
۶۵,۴۳۶	۵۶,۴۷۶	۷۶	
۳,۲۲۲	۱۲,۷۴۳		

در حدود ۷ برابر مقدار متاظر در هسته‌ی T<sup>100</sup> است. در این گره (مطابق شکل الف) با افزایش تعداد دوره‌های فشار آب حفره‌یی در هسته‌ی T<sup>100</sup> کاهش می‌یابد. نشست قائم بیشینه در هر دو سد در قسمت میانی سد اتفاق می‌افتد و مقدار آن در سد خاکی با مصالح هسته‌ی T<sup>100</sup> در حدود ۴ برابر بیشتر از سد خاکی با مصالح هسته‌ی ST<sup>40</sup> است. به عبارت دیگر، افزودن ۶۰ درصد ماسه به رس خالص، باعث کاهش ۷۵ درصدی نشست قائم در بارگذاری قائم تنابوی، و افزایش ۳۵ درصدی فشار آب حفره‌یی در بحرانی‌ترین گره هسته‌ی سد خاکی می‌شود.


 الف) T<sup>100</sup>

 ب) ST<sup>40</sup>

شکل ۱۴. مقایسه فشار آب حفره‌یی در نقاط هدف حاصل از تحلیل عددی حاصل از اعمال بار تنابی فرضی روی تاج سد خاکی فرضی با مصالح هسته.

مقایسه نتایج نشان می‌دهد که بر اثر بارگذاری تنابوی فرضی، در سد خاکی با هسته‌ی ST<sup>40</sup> فشار آب حفره‌یی بیشتری نسبت به سد خاکی با هسته‌ی T<sup>100</sup> ایجاد می‌شود. به طوری که به استثنای گره ۹ برای مصالح T<sup>100</sup>، با افزایش تعداد دوره‌های بارگذاری، فشار آب حفره‌یی نیز زیاد می‌شود و نز افزایش در دوره‌های اولیه بیشتر و در دوره‌های بالا کند یا ثابت می‌شود. همچنین نشست قائم سد خاکی با مصالح هسته‌ی T<sup>100</sup> بیشتر از سد خاکی با مصالح هسته‌ی ST<sup>40</sup> است.

جایی افقی سد، بدليل ماهیت بارگذاری که از نوع کرش محوری قائم بود، در هر دو سد خاکی برابر و در حدود ۶ cm است. با مقایسه خطوط همتراز فشار آب حفره‌یی برای هر دو سد در شکل ۱۳ مشخص می‌شود که گستردنگی فشار آب حفره‌یی در سد با هسته‌ی ST<sup>40</sup> بیشتر است. در جدول ۴ مقادیر بیشینه فشار آب حفره‌یی و نشست قائم در نقاط هدف مورد بررسی، برای دو سد با هسته‌های T<sup>100</sup> و ST<sup>40</sup> ارائه شده است.

از مقایسه مقادیر فشار آب حفره‌یی در جدول ۴ در می‌باشیم که مقدار بیشینه فشار آب حفره‌یی در گره ۸ ایجاد می‌شود و این مقدار برای سد با مصالح هسته‌ی ST<sup>40</sup> حدود ۳۵٪ بیشتر از سد با مصالح هسته‌ی T<sup>100</sup> است. البته بیشترین اختلاف فشار آب حفره‌یی در گره ۹ است که فشار آب حفره‌یی در هسته‌ی ST<sup>40</sup>

### جدول ۵. کل نتایج حاصل از تحلیل‌های عددی.

فشار آب حفره‌یی در هسته‌ی سد (kPa)	تحلیل عددی
ST <sup>۴۰</sup>	T <sup>۱۰۰</sup>
۵۷	۱۹۵ ساخت لایه لایه (همراه با تحکیم)
۱۶۰	۱۲۰ آبگیری و بارگذاری تناوبی
۲۱۷	۳۱۵ جمع

پایان هر سه تحلیل ساخت لایه‌لایه، آبگیری و تحلیل برای اعمال بار تناوبی فرضی روی تاج سد برای دو هسته‌ی T<sup>۱۰۰</sup> و ST<sup>۴۰</sup> با یکدیگر مقایسه شود.

برای روش‌شدن مطلب، نتایج فشار آب حفره‌یی بیشینه حاصل از تحلیل‌های ساخت لایه‌لایه در شرایط همراه با تحکیم و بارگذاری تناوبی پس از آبگیری برای سد خاکی فرضی با مصالح هسته‌ی T<sup>۱۰۰</sup> و ST<sup>۴۰</sup> در جدول ۵ ارائه شده است.

با توجه به جدول ۵ می‌توان گفت که افزودن ۶۰ درصدی مصالح دانه‌یی به رس خالص در هسته‌ی سدهای خاکی باعث کاهش فشار آب حفره‌یی در پایان بارگذاری تناوبی می‌شود. بنابراین در هسته‌ی سدهای خاکی، رس مخلوط می‌تواند جایگزینی مناسب برای رس خالص باشد تا علاوه بر بهبود خواص مقاومتی سد خاکی، کاهش نشسته‌ها، جلوگیری از ترک‌خوردگی ناشی از خشکشیدگی، از بین بردن اختلاف سختی هسته و پیوسته سد خاکی و کاهش پتانسیل وقوع قوس‌زدگی<sup>۱</sup> باعث کاهش فشار آب حفره‌یی اضافی به عنوان یکی از عوامل مهم در تحریب و نایابی‌اری سدهای خاکی شود.

### ۶. نتیجه‌گیری

در این بخش نتایج تحلیل‌های عددی انجام‌شده بر روی مصالح رس خالص و رس مخلوط به صورت خلاصه ارائه شده و در پایان پیشنهاد لازم درخصوص انتخاب مصالح هسته‌ی سد خاکی ارائه می‌شود. اهم نتایج حاصل از تحلیل‌های عددی عبارت است از:

۱. تحلیل عددی نمونه‌های T<sup>۱۰۰</sup> و ST<sup>۴۰</sup> نشان داده براحتی آزمایشگاهی، [۱] در شرایط کنترل کرنش با افزودن مصالح دانه‌یی به رس خالص، فشار آب حفره‌یی افزایش می‌یابد در حالی که در شرایط سطوح تنفس مساوی کاهش می‌یابد.

۲. ساخت لایه‌لایه سد خاکی که از نوع بارگذاری یکنواخت است، در شرایط کاملاً زهکشی‌نشده یا شرایط همراه با تحکیم، باعث می‌شود مقدار فشار آب حفره‌یی در سد با هسته‌ی T<sup>۱۰۰</sup> بیشتر از هسته‌ی ST<sup>۴۰</sup> باشد. اختلاف فشار آب حفره‌یی بیشینه در مصالح رس خالص و رس مخلوط در تحلیل لایه‌لایه سد خاکی همراه با تحکیم لایه‌ها بیشتر از تحلیل عددی کاملاً زهکشی‌نشده است. این نتیجه نشان می‌دهد که شرایط موجود در هنگام ساخت لایه‌لایه سد نزدیک به شرایط کنترل تنفس در نمونه است. افزودن ۶۰ درصد ماسه به رس خالص در هسته‌ی سد خاکی باعث می‌شود تا در شرایط ساخت سد همراه با تحکیم لایه‌های سد، مقدار فشار آب حفره‌یی بیشینه در حدود ۲۴۵ درصد کاهش یابد.

۳. در تمام شرایط تحلیل عددی سد خاکی، افزودن مصالح دانه‌یی به رس خالص در هسته‌ی سد باعث بهبود خواص مقاومتی و کاهش نشست قائم و جایه‌جانبی افقی سد می‌شود. دلیل این موضوع سخت‌ترشدن مصالح برای افزایش مصالح دانه‌یی است. مقایسه‌ی نتایج نشان می‌دهد که افزودن ۶۰٪ مصالح دانه‌یی به خاک رس خالص سبب کاهش ۵۰٪ درصدی نشست قائم سد در حین ساخت لایه‌لایه و باعث کاهش ۷۵ درصدی آن در بارگذاری تناوبی کرنش کنترل می‌شود.

۴. تحلیل عددی سد خاکی فرضی نشان داد که بارگذاری قائم تناوبی فرضی روی تاج سد، فشار آب حفره‌یی بیشتری را در سد با مصالح هسته‌ی مخلوط (ST<sup>۴۰</sup>) ایجاد می‌کند. نتایج حاصله حاکی از آن است که با افزایش تعداد دوره‌های بارگذاری، فشار آب حفره‌یی افزایش می‌یابد. نیز افزایش فشار آب حفره‌یی در دوره‌های اولیه بیش از دوره‌های بعدی است. مقایسه‌ی مقدار فشار آب حفره‌یی در درگره هدف ۸ برای دو هسته‌ی T<sup>۱۰۰</sup> و ST<sup>۴۰</sup> نشان می‌دهد که وجود ۶۰ درصدی مصالح دانه‌یی در رس خالص باعث افزایش ۳۵ درصدی فشار آب حفره‌یی می‌شود.

۵. از بحث‌ها و تحلیل‌های انجام‌شده می‌توان نتیجه گرفت اگرچه استفاده از رس مخلوط در هسته‌ی سد خاکی در مقایسه با رس خالص باعث کاهش نشست سد می‌شود ولی در بارگذاری تناوبی، که ماهیتی شبیه به بارگذاری زلزله دارد، فشار آب حفره‌یی بیشتری در آن ایجاد می‌شود. از طرف دیگر، در حین ساخت سد - در هر دو شرایط زهکشی‌نشده و همراه با تحکیم - فشار آب حفره‌یی ایجاد شده در هسته‌ی رسی خالص به مرتب بیشتر از هسته‌ی رسی مخلوط است. در هنگام ساخت که امکان زمکشی آب و تحکیم لایه‌ها وجود دارد، تفاوت فشار آب حفره‌یی هسته‌ی رسی خالص و هسته‌ی رسی مخلوط بیشتر از شرایط زهکشی‌نشده است. بنابراین باید فشار آب حفره‌یی در

## پانوشت

1. arching

## منابع

۱. سلطانی جیقه، ح. «رفتار مکانیکی خاک های رسی مخلوط تحت بارگذاری های سیکلی و پس سیکلی» پایان نامه دکتری، دانشگاه صنعتی امیرکبیر، تهران (۱۳۸۵).
۲. سلطانی جیقه، ح. و سروش، ع. «رفتار خاک های رسی مخلوط تحت بارگذاری یکنواخت»، تشریه علمی دانشگاه صنعتی امیرکبیر، تهران، دوره ۱۸ (۱۳۸۶).
3. Soroush, A. and Soltani-Jigheh, H. "Pre- and post-cyclic behavior of mixed clayey soils", Accepted for publication in the Canadian Geotechnical Journal (1388).
۴. بهرامی، ر. «ازیابی و مقایسه تغییر شکل های سدهای خاکی با هسته رسی مخلوط و هسته رسی خالص به هنگام زلزله (مطالعه موردی سد کرخه)»
5. Mir Mohammad Hosseini, S.M. "Performance of mixed-clay as core material for earth dams", ,www:EJGE.com; 7, Bundle A (2002).
6. Jafari, M.K. and Shafiee, A. "Mechanical behavior of compacted composite clays", *Canadian Geotechnical Journal*, 41, pp. 1152-1167 (2004).
7. Vallejo, L.E. and Mawby, R. "Void ratio influence on the shear strength of granular material-clay mixtures", *Engineering Geology*, 58, pp. 125-136 (2000).
8. Jalili, N. "Dynamic assessment of embankment with mixed clay core material by specific theory to pore water pressure changes", M.S. Thesis, iees (1383).
9. ABAQUS 6.7, Simulia systems corp (2007).
10. Geo-Slope International Ltd., Calgary, Alberta, Canada (2003).